

CORRIGENDA – CORRIGENDUM

Corrección a Emplazamiento del magmatismo Paleoceno-Eoceno bajo un régimen transtensional y su evolución a un equilibrio dinámico en el borde occidental de Colombia

[*Rev. Mex. Cienc. Geol.*, 37-3 (2020), 250-268]

**Jeny Alejandra Grajales^{1,2,*}, Ángel F. Nieto-Samaniego³,
Darío Barrero Lozano⁴, Jairo Alonso Osorio⁵ y Mario Andrés Cuellar⁵**

¹Universidad de Concepción, Facultad de ciencias Químicas,
Edmundo Larenas 234, Campus Concepción, Chile.

²La Luna E&P S DE RL Sucursal Colombia, Carrera 13A No. 87-17, Bogotá, Colombia.

³Centro de Geociencias, Universidad Nacional Autónoma de México, Campus Juriquilla,
Boulevard Juriquilla 3001, C.P. 76230, Querétaro, México.

⁴Consultor independiente. Calle 113 No. 11A-55, Bogotá, Colombia.

⁵Servicio Geológico Colombiano, Diagonal 53, No. 34 - 53, Bogotá D.C., Colombia.

* Grajales.jennyalejandra@gmail.com

En la Tabla 4 y las Figuras 3 y 6 del artículo referido, las edades reportadas por Villagómez et al. (2011) [muestras: DV64, DV70_2, DV148, DV163, DV04, DV05, DV30]; Restrepo et al. (1991) [muestra: 69]; Núñez (1981) [muestra: GM-156841] y ANH-UCaldas (2011) [muestra: SG-002] fueron erróneamente reportadas como edades U-Pb en circon. Dichas edades no debieron incluirse en el manuscrito dado que allí se discuten solamente edades de cristalización. No obstante lo anterior, la exclusión de esos datos no cambia las interpretaciones ni conclusiones reportadas en el artículo.

Se anexan versiones corregidas de la tabla y las figuras mencionadas, para los lectores que deseen tenerlas sin los datos que fueron incluidos erróneamente.

Tabla 4. Edades isotópicas compiladas de la literatura, del evento magmático Paleoceno – Eoceno, distribuidos en las Cordilleras Occidental y Central de Colombia.

Muestra	Longitud	Latitud	Nombre Unidad	Edad (Ma)	Método	Tipo de roca	Referencia
Cordillera Central							
GR-II-1	-74.91191	6.51065	Batolito Antioqueño	59.2± 1.2	U/Pb Cir	Tonalita biotítica	Leal-Mejía, 2011
G-29	-74.92009	6.51047	Batolito Antioqueño	60.7± 1	U/Pb Cir	Tonalita biotítica	Leal-Mejía, 2011
R-6834	-74.75273	6.49891	Stock de Caracolí	60.1± 1.2	U/Pb Cir	Cuarzodiorita biotítica	Leal Mejía, 2011
WR-215	-75.29833	5.76629	Batolito de Sonsón	58.6± 1	U/Pb Cir	Granodiorita biotítica	Leal Mejía, 2011
WR-216	-75.203548	5.66734	Batolito de Sonsón	55.8± 0.9	U/Pb Cir	Leucogranito	Leal Mejía, 2011
WR-218	-75.19388	5.65845	Batolito de Sonsón	60± 0.9	U/Pb Cir	Leucogranito	Leal Mejía, 2011
07DV156	-75.300009	5.75369	Batolito de Sonsón	59± 0.5	U/Pb Cir	Granito	Cochrane, 2013
BSS-5	-75.298104	5.75591	Batolito de Sonsón	60.7± 1.4	U/Pb Cir	Cuarzodiorita	Ordóñez-Cardona <i>et al.</i> , 2011
CH10	-74.98982	5.14893	Stock el Hatillo	55.0±0.7	U/Pb Cir	--	Bustamante <i>et al.</i> , 2016
CH19	-74.99923	5.27350	Stock el Hatillo	53.7± 2.6	U/Pb Cir	--	Bustamante <i>et al.</i> , 2016
CH21B	-75.00382	5.29017	Stock el Hatillo	53.6± 1.7	U/Pb Cir	--	Bustamante <i>et al.</i> , 2016
CH5	-74.99378	5.21960	Stock el Hatillo	53.8± 0.3	U/Pb Cir	--	Bustamante <i>et al.</i> , 2016
CH8	-74.99125	5.17650	Stock el Hatillo	53.2±1.3	U/Pb Cir	--	Bustamante <i>et al.</i> , 2016
GCC-11	-74.97359	5.17379	Stock el Hatillo	54.6±0.7	U/Pb Cir	Cuarzodiorita	Bayona <i>et al.</i> , 2012
CB1	-75.14055	4.73725	Batolito El Bosque	55.1± 2.1	U/Pb Cir	--	Bustamante <i>et al.</i> , 2016
ER-1	-75.09912	6.48492	Intrusivo pórfito El Rayo	59.9± 0.9	U/Pb Cir	Pórfito aurífero	Leal Mejía, 2011
BSB1	-76.15173	3.34943	Batolito de Santa Barbara	58.9±0.4	U/Pb Cir	Tonalita	Ordóñez-Carmona <i>et al.</i> , 2011
BSB2	-76.142849	3.37582	Batolito de Santa Barbara	58.4±0.8	U/Pb Cir	Tonalita	Ordoñez-Carmona <i>et al.</i> , 2011
10RC73	-76.14499	3.36045	Batolito de Santa Barbara	60.2±1.1	U/Pb Cir	Granito	Cochrane, 2013
GCC-15	-75.40529	5.03409	Granodiorita Manizales	59.8±0.7	U/Pb Cir	Tonalita	Bayona <i>et al.</i> , 2012
Cordillera Occidental							
CLM-0376-R	-77.41746	2.50920	Diques Dioríticos	45.6± 0.6	U/Pb Cir	Tonalita	ANH-GRP, 2014
CLM-0447-P	-77.51078	2.41357	Diques Dioríticos	44.7± 0.3	U/Pb Cir	Diques dioríticos	ANH-GRP, 2014
CDG-0255-P	-77.58847	2.06410	Intrusivo Muchinca	50.3± 0.7	U/Pb Cir	Cuarzodiorita - cuarzomonzonita	ANH-GRP, 2014
APO-0056-LG	-77.24070	2.74230	Stock de Timbiquí	46.8± 0.7	U/Pb Cir	Cuarzodiorita	ANH-GRP, 2014
WR-238	-76.52136	6.726582	Batolito de Mandé	44.6± 0.9	U/Pb Cir	Pórfito tonalítico	Leal Mejía, 2011
WR-237	-76.518721	6.723443	Batolito de Mandé	45.3± 1.2	U/Pb Cir	Pórfito tonalítico	Leal Mejía, 2011
*	-77.404248	8.524412	Batolito de Acandí	49.5	U/Pb Cir	---	Cardona <i>et al.</i> , 2018
*	-77.592307	2.045487	Stock de Timbiquí	44.3	U/Pb Cir	---	Cardona <i>et al.</i> , 2018

Las muestras marcadas con asterisco (*) no tienen número de muestra en el artículo en donde fueron reportadas (Cardona *et al.*, 2018) y sus coordenadas fueron tomadas del mapa que los autores presentan con la ubicación.

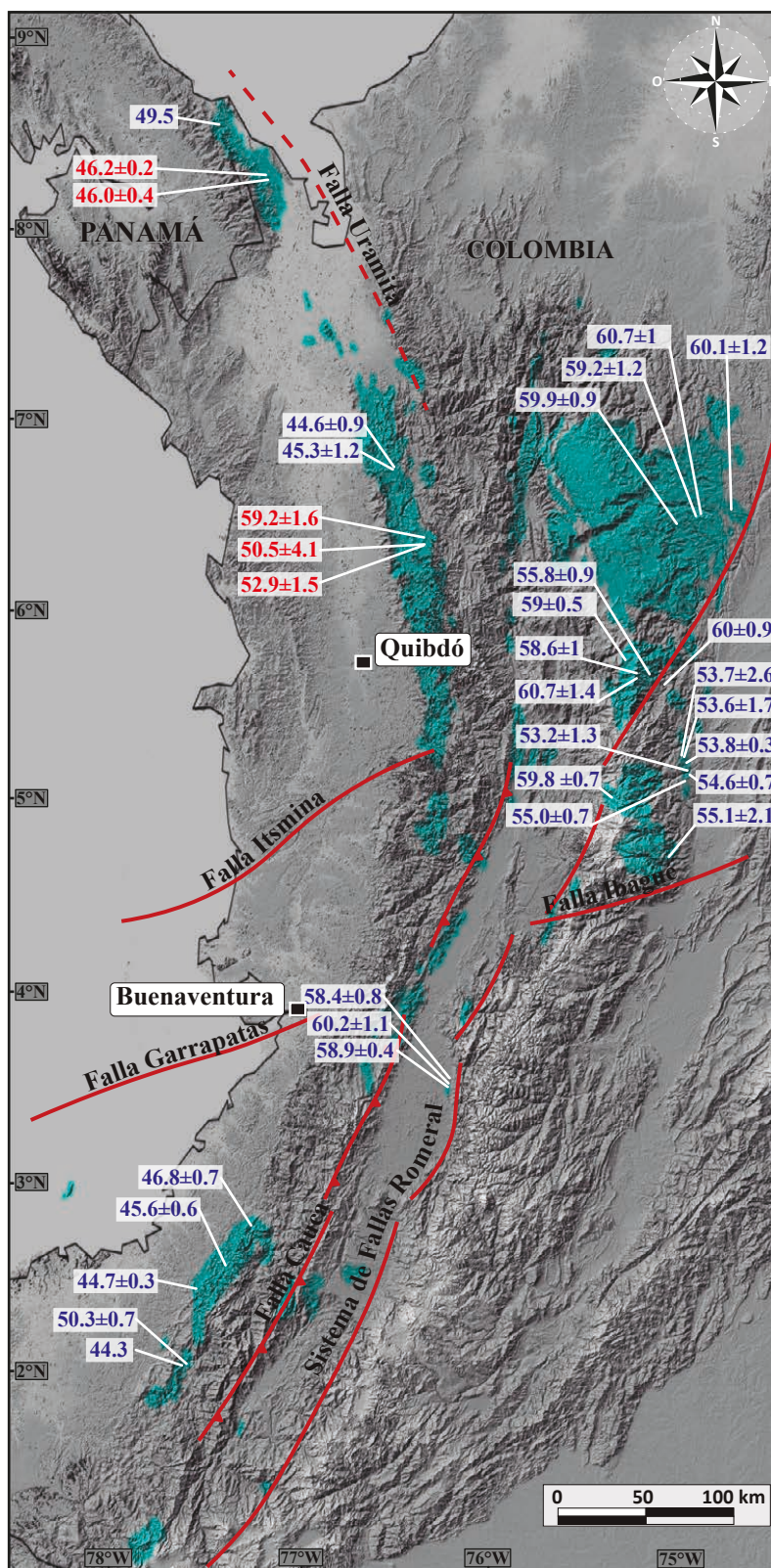


Figura 3. Distribución, geometría y tiempo de permanencia de las rocas de edad Paleoceno y Eoceno. Los análisis reportados son realizados a partir del método U/Pb en círcón. En color rojo, se muestran las edades obtenidas en este trabajo. En color azul, los análisis U/Pb recopilados de la literatura (Núñez, 1981; Restrepo *et al.*, 1991; Leal Mejía, 2011; ANH-UCaldas, 2011; Ordóñez-Carmona *et al.*, 2011; Bayona *et al.*, 2012; Villagómez y Spikings, 2013; ANH-GRP, 2014; Cochrane, 2013; Bustamante *et al.*, 2016; Cardona *et al.*, 2018).

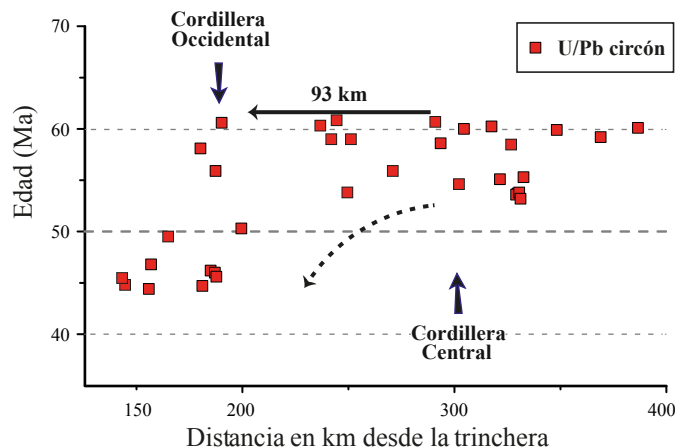


Figura 6. Distribución de las edades de cristalización a partir del método U/Pb en zircón del occidente colombiano, en las rocas ígneas del Paleoceno – Eoceno en función de la distancia a la fosa actual. La distancia es medida desde la fosa hacia los puntos de muestreo de manera perpendicular, teniendo en cuenta la geometría de las estructuras mayores (Cordillera Central y Occidental).

REFERENCIAS

- ANH-GRP (Agencia Nacional de Hidrocarburos, Geología Regional y Prospección), 2014, Cartografía geológica a escala 1:100.000 de las planchas 340, 362, 385 y 409 localizadas en la Cuenca de Tumaco, así como el inherente levantamiento de columnas estratigráficas y muestreo litológico para los análisis petrográficos, bioestratigráficos, geoquímicos, petrofísicos y radiométricos: Bogotá, Colombia, Agencia Nacional de Hidrocarburos, Publicación Especial, 207 pp. <<http://recordcenter.sgc.gov.co/B14/23008010024581/documento/pdf/2105245811101000.pdf>> consultado: noviembre de 2018.
- ANH-UCaldas (Agencia Nacional de Hidrocarburos, Universidad de Caldas), 2011, Estudio integrado de los núcleos y registros obtenidos de los pozos someros (slim holes) perforados por la ANH: Manizales, Colombia, Agencia Nacional de Hidrocarburos, Publicación Especial, 73 pp. <(PDF) Estudio integrado de los núcleos y registros obtenidos de los pozos someros tipo “slim holes” en la Cuenca Sinú-TOMO 1 | Hermann Bermúdez - Academia.edu>, consultado: septiembre de 2018.
- Bayona, G., Cardona, A., Jaramillo, C., Mora, A., Montes, C., Valencia, V., Ibañez, M., 2012, Early Paleogene magmatism in the northern Andes: Insights on the effects of Oceanic Plateau-continent convergence: Earth and Planetary Science Letters, 331-332, 97-111.
- Bustamante, C., Cardona, A., Archanjo, C., Bayona, G., Lara, M., Valencia, V., 2016, Geochemistry and isotopic signatures of Paleogene plutonic and detrital rocks of the Northern Andes of Colombia: A record of post-collisional arc magmatism: Lithos, 277, 199-209.
- Cardona, A., León, S., Jaramillo, J.S., Montes, C., Valencia, V., Vanegas, J., Bustamante, Echeverri, S., 2018, The Paleogene arcs of the northern Andes of Colombia and Panama: Insights on plate kinematic implications from new and existing geochemical, geochronological and isotopic data: Tectonophysics, 749, 88-103.
- Cochrane, R., 2013, U/Pb thermochronology, geochronology and geochemistry of NW South America: Rift to drift transition, active margin dynamics and implications for the volume balance of continents: Ginebra, Suiza, Université de Genève, tesis de doctorado, 191 pp. DOI: 10.13097/archive-ouverte/unige:30029.
- Leal Mejía, H., 2011, Phanerozoic gold metallogeny in the colombian Andes: A tectono/magmatic approach: Barcelona, España, Universitat de Barcelona, tesis doctoral, 1000 pp.
- Núñez, A., 1981, Plutonismo terciario afectando el Batolito de Ibagué, en III Congreso Colombiano de Geología: Medellín, Colombia, Instituto Colombiano de Geología y Minería (INGENOMINAS), Libreto de resúmenes, 40 pp.
- Ordóñez-Carmona, O., Restrepo, J.J., de Brito, R.S.C., Martens, U., Rodrigues, J.B., 2011. The late Paleocene age of the Santa Bárbara Batholith (Valle, Colombia) and its implications on the evolution of the Arquia Complex, en XIV Congreso Latinoamericano de Geología – XIII Congreso Colombiano de Geología: Medellín, Colombia, Geología Colombiana, Memorias, 109.
- Restrepo, J.J., Toussaint, J.F.; González, H.; Cordani, U.; Kawashita, K.; Linares, E.; Paria, C., 1991, Precisiones geocronológicas sobre el occidente colombiano, en Simposio Geológico Magmatismo andino y su marco tectónico: Manizales, Colombia, Universidad de Caldas, Memorias, Tomo 1, 1-21.
- Villagómez, D., Spikings, R., Magna, T., Kemmer, A., Winkler, W., Beltrán, A., 2011, Geochronology, geochemistry and tectonic evolution of the Western and Central cordilleras of Colombia: Lithos, 125, 875-896.

Corrigenda recibida: 4 de enero, 2021

Corrigenda aceptada: 22 de enero, 2021